

# Атомная физика

## Лекция 15

М.Ю. Рябиков

*канд. физ.-мат. наук, в.н.с. ИПФ РАН*

ННГУ им. Н.И. Лобачевского, ВШОПФ

2025

# **Потенциальные ямы и барьеры**

## **(часть 1)**

## Общие свойства одномерного движения

Если потенциальная энергия частицы зависит только от одной координаты (пусть это будет координата  $x$ ), то ВФ можно искать в виде произведения функции от  $y, z$  (она определяется уравнением Шредингера свободного движения) на функцию только от  $x$ , которая находится из решения одномерного (1D) уравнения Шредингера

$$\frac{d^2\psi}{dx^2} + \frac{2m}{\hbar^2} [E - U(x)] \psi = 0. \quad (15.1)$$

Пример – заряженная частица в конденсаторе.

Рассмотрим некоторые общие свойства одномерного движения.

### Отсутствие вырождения дискретных уровней.

Предположим, что уровни энергии дискретного спектра в 1D случае могут быть вырожденными.  $\psi_1, \psi_2$  – две различные собственные функции, соответствующие одному и тому же  $E$ .  $\rightarrow$

$$\frac{\psi''_1}{\psi_1} = +\frac{2m}{\hbar^2} [U - E] = \frac{\psi''_2}{\psi_2}$$

$$\text{или } \psi''_1 \psi_2 - \psi_1 \psi''_2 = 0 \rightarrow \frac{d}{dx} (\psi'_1 \psi_2 - \psi_1 \psi'_2) = 0.$$

Интегрируем  $\rightarrow \psi'_1\psi_2 - \psi_1\psi'_2 = \text{const.}$

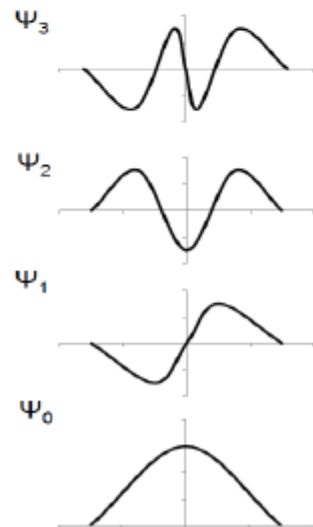
На бесконечности должно быть  $\psi_1 = \psi_2 = 0 \rightarrow \text{const} = 0$ , т.е.

$$\psi'_1\psi_2 - \psi_1\psi'_2 = 0.$$

Поделим на  $\psi_1\psi_2 \rightarrow \frac{\psi'_1}{\psi_1} = \frac{\psi'_2}{\psi_2} \rightarrow \frac{d}{dx}(\ln \psi_1 - \ln \psi_2) = 0 \rightarrow \frac{d}{dx} \ln \frac{\psi_1}{\psi_2} = 0 \rightarrow \ln \frac{\psi_1}{\psi_2} = \text{const}$

↓

$\psi_1 = \text{const} \times \psi_2 \rightarrow$  Обе функции по существу совпадают.

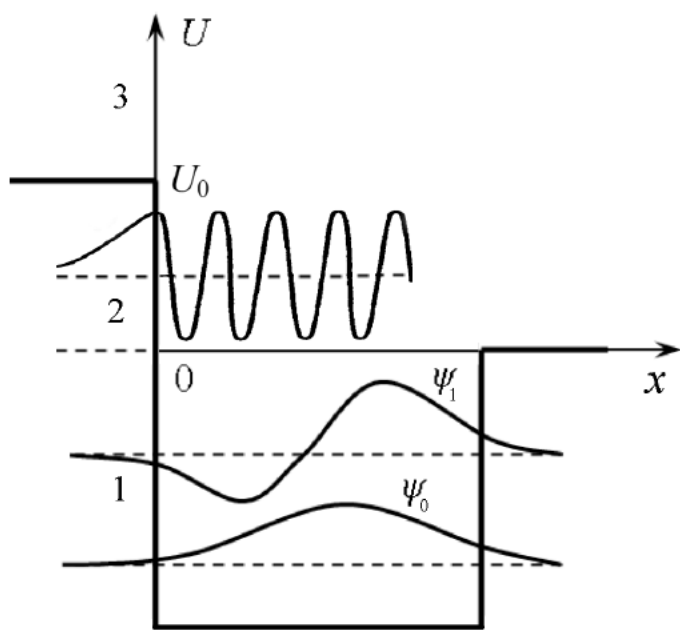


### Осцилляционная теорема.

Функция  $\psi_n(x)$ , соответствующая  $n+1$ -му по величине собственному значению  $E_n$ , обращается в нуль, меняя знак (при конечных значениях  $x$ )  $n$  раз.

## Несимметричная яма. Спектры энергии и общий вид ВФ.

Пусть  $U(x)$  стремится при  $x \rightarrow \pm\infty$  к конечным пределам. Предел  $U(+\infty)$  примем за начало отсчета энергии;  $U(-\infty)$  обозначим как  $U_0$ . Будем считать, что  $U_0 > 0$ .



1. В области 1 частица не может уйти на бесконечность, т.к. энергия меньше обоих пределов  $U(\pm\infty)$ , т.е. отрицательна:

$$E < 0. \quad (15.2)$$

Спектр энергии в этой области – дискретный.

Заметим: (а)  $E > U_{\min}$ ; (б) выполняется осцилляционная теорема; (в) ВФ затухает вглубь классически недоступной области.

2. Область 2:

$$0 < E < U_0. \quad (15.3)$$

В области 2 спектр непрерывный, движение частицы инфинитное (частица может уходить в сторону  $x=+\infty$ ). Уровни энергии в этой области тоже невырожденные (для доказательства, приведенного выше для дискретного спектра, достаточно, чтобы функции  $\psi_1$  и  $\psi_2$  обращались в ноль хотя бы на одной из бесконечностей (в данном случае при  $x \rightarrow -\infty$ )).

При достаточно больших положительных  $x$  в уравнении Шредингера можно пренебречь  $U(x)$ :

$$\psi'' + \frac{2m}{\hbar^2} E \psi = 0. \quad (15.4)$$

Это уравнение имеет вещественные решения вида стоячей плоской волны:

$$\psi = a \cos(kx + \delta), \quad (15.5)$$

где  $a$  и  $\delta$  – постоянные, а волновое число равно  $k = p / \hbar = \sqrt{2mE} / \hbar$ . Этой формулой определяется асимптотический вид ВФ при  $x \rightarrow +\infty$  в области энергий (15.3).

В другой асимптотике ( $x \rightarrow -\infty$ ) уравнение Шредингера запишется как

$$\psi'' - \frac{2m}{\hbar^2} (U_0 - E) \psi = 0.$$

Решение, не обращающееся при  $x \rightarrow -\infty$  в бесконечность, есть

$$\psi = b e^{\kappa x}, \quad \kappa = \frac{1}{\hbar} \sqrt{2m(U_0 - E)}. \quad (15.6)$$

Это есть асимптотический вид ВФ при  $x \rightarrow -\infty$ . ВФ (15.6) экспоненциально затухает вглубь области с  $E < U$  (см. рисунок).

3. Наконец, в области 3:

$$E > U_0 \quad (15.7)$$

спектр будет непрерывным, а движение – инфинитным в обе стороны. В этой области все уровни энергии двукратно вырождены. Это следует из того, что в данном случае оба независимых решения уравнения (15.1), являющегося уравнением 2-го порядка, удовлетворяют должным условиям на бесконечности (в предыдущих случаях решения, не убывающие на бесконечности, отбрасывались). Асимптотический вид ВФ при  $x \rightarrow +\infty$  имеет вид

$$\psi = a_1 e^{ikx} + a_2 e^{-ikx} \quad (15.8)$$

и аналогично для  $x \rightarrow -\infty$ .

Учитывая временной множитель для стационарных состояний, перепишем (15.8) как

$$\Psi = a_1 e^{i\left(kx - \frac{E}{\hbar}t\right)} + a_2 e^{-i\left(kx + \frac{E}{\hbar}t\right)}. \quad (15.9)$$

Очевидно, что первое слагаемое соответствует частице, движущейся вправо, а второе – частице, движущейся влево.

## **Чётность.**

Пусть  $U(x)$  – чётная функция:

$$U(-x) = U(x).$$

Тогда при изменении знака координаты уравнение Шредингера (15.1) не меняется. →

Если  $\psi(x)$  – некоторое решение этого уравнения, то и  $\psi(-x)$  – тоже есть решение, совпадающее с  $\psi(x)$  с точностью до постоянного множителя:  $\psi(-x)=c\psi(x)$ . Меняем знак  $x$  ещё раз →  $\psi(x)=c^2\psi(x)$  →  $c=\pm 1$ . → При симметричной относительно  $x=0$  потенциальной энергии ВФ-и стационарных состояний могут быть либо **чётными**:

$$\psi(-x) = \psi(x) \quad (15.10)$$

либо **нечётными**:

$$\psi(-x) = -\psi(x). \quad (15.11)$$

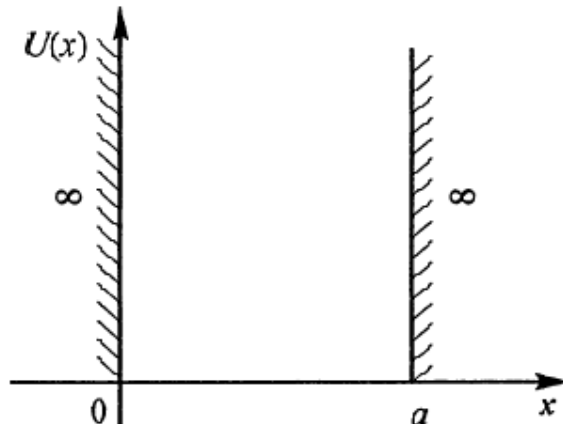
В частности, ВФ основного состояния – чётная: она не может иметь узлов, а нечётная функция во всяком случае обращается в ноль при  $x=0$  [ $\psi(0)=-\psi(0)=0$ ].

## Бесконечно глубокая прямоугольная потенциальная яма

Ряд общих свойств стационарных состояний выявляется уже на самых простых одномерных задачах.

Рассмотрим бесконечно глубокую прямоугольную потенциальную яму:

$$U(x) = \begin{cases} 0, & 0 \leq x \leq a, \\ \infty, & x < 0, \quad x > a. \end{cases} \quad (15.12)$$



В классической физике аналогом данной системы является движение частицы внутри горизонтального ящика с высокими упругими стенками и гладким дном; движение такой частицы является финитным, а спектр энергии – непрерывным. Т.е. энергия частицы в такой яме может принимать любые значения. В частности, при  $E=0$  она поконится на дне ямы, а при  $E > 0$  совершает колебания между стенками.

Найдём сначала вероятность нахождения частицы в различных точках внутри потенциальной ямы. Разобьём ось координат на элементарные отрезки длиной  $dx$ . Тогда искомая вероятность будет определяться как

$$dP(x) = \frac{2 dt}{T} = \frac{2 dx}{T|v(x)|}. \quad (15.13)$$

Здесь  $dt$  – время, за которое частица проходит отрезок длиной  $dx$ ,  $T$  – период колебаний частицы в потенциальной яме,  $v$  – скорость частицы. Множитель 2 учитывает двукратное прохождение отрезка  $dx$  за период колебаний. Внутри ямы потенциал постоянен ( $=0$ ) → у частицы в потенциальной яме (15.12) скорость не зависит от координаты  $x$  (только при достижении стенок знак скорости меняется на противоположный) → вероятности (15.13) одинаковы для всех точек внутри ямы. Т.обр., в классической механике в данной задаче частица может находиться с равной вероятностью в окрестности любой точки своей траектории.

**В квантовой механике** для определения вероятности нахождения частицы в различных точках необходимо решить уравнение Шредингера. Гамильтониан частицы в рассматриваемом случае содержит лишь оператор кинетической энергии и имеет вид

$$\hat{H} = \frac{\hat{p}_x^2}{2m} = -\frac{\hbar^2}{2m} \frac{d^2}{dx^2}. \quad (15.14)$$

Уравнение Шредингера для стационарных состояний можно преобразовать к виду

$$\psi'' + \frac{2mE}{\hbar^2} \psi = 0, \quad (15.15)$$

или

$$\psi'' + k^2 \psi = 0. \quad (15.16)$$

Здесь

$$k = \sqrt{\frac{2mE}{\hbar^2}}. \quad (15.17)$$

Решение однородного уравнения (15.16) запишем в виде

$$\psi(x) = A \sin(kx) + B \cos(kx), \quad (15.18)$$

где  $A$  и  $B$  – постоянные.

Стенки в нашей задаче являются бесконечно высокими → частица не может проникнуть в области за пределами ямы (для этого необходимо совершить бесконечную работу). → Для ВФ имеем соотношения  $\psi(x < 0) = \psi(x > a) = 0$ , откуда в силу непрерывности ВФ следуют граничные условия

$$\psi(x = 0) = \psi(x = a) = 0. \quad (15.19)$$

Из первого граничного условия следует, что постоянная  $B$  в (15.18) равна нулю. Второе условие даёт важное соотношение

$$\sin(ka) = 0. \quad (15.20)$$

→ Величина  $k$  может принимать лишь дискретный ряд значений:

$$k_n = \frac{\pi}{a}n, \quad n = 1, 2, \dots \quad (15.21)$$

Значение  $n=0$  мы отбросили, так как при этом  $k=0$ , и ВФ тождественно равна 0, что противоречит условию нормировки на 1.

(15.17), (15.21) → Значения энергии  $E = \frac{\hbar^2 k^2}{2m}$  в потенциальной яме (15.12) имеют дискретный спектр:

$$E_n = \frac{\pi^2 \hbar^2}{2ma^2} n^2, \quad n = 1, 2, \dots \quad (15.22)$$

Каждому значению энергии  $E_n$  соответствует своя ВФ:

$$\psi_n(x) = A \sin(k_n x) = A \sin \frac{\pi n x}{a}, \quad n = 1, 2, \dots \quad (15.23)$$

Коэффициент  $A$  находится из условия нормировки

$$\int_0^a |\psi_n(x)|^2 dx = A^2 \int_0^a \sin^2(k_n x) dx = 1. \quad (15.24)$$

Т.обr., стационарные состояния частицы, находящейся в бесконечно глубокой прямоугольной потенциальной яме, описываются дискретным набором волновых функций

$$\psi_n(x) = \sqrt{\frac{2}{a}} \sin \frac{\pi n x}{a}, \quad n = 1, 2, \dots \quad (15.25)$$

Т.обр., на рассмотренном примере мы убеждаемся в выполнении ранее отмеченного общего свойства квантовых систем: финитному движению соответствует дискретный спектр стационарных состояний. Для сравнения следует вспомнить, что, согласно классической физике, частица в потенциальной яме может иметь любую энергию из непрерывного множества значений.

Полные волновые функции  $\Psi(x, t) = \sqrt{\frac{2}{a}} \sin \frac{\pi n x}{a} \exp\left(-i \frac{E}{\hbar} t\right)$  рассматриваемых стационарных состояний представляют собой стоячие волны. Дискретный набор

волновых чисел  $k_n = \frac{\pi}{a} n$  ( $n = 1, 2, 3, \dots$ ) делает эти функции в математическом

смысле аналогичными стоячим волнам в кубе, которые мы получили ранее для электромагнитных волн при выводе формулы Релея-Джинса.

Кроме дискретности спектра, отметим ещё ряд важных свойств квантовомеханических состояний частицы в рассматриваемом потенциале.

Отметим, что, в отличие от классической частицы, энергия квантовой частицы в рассмотренной потенциальной яме не может быть равной нулю, т.е. квантовая частица не может покоиться на дне потенциальной ямы.

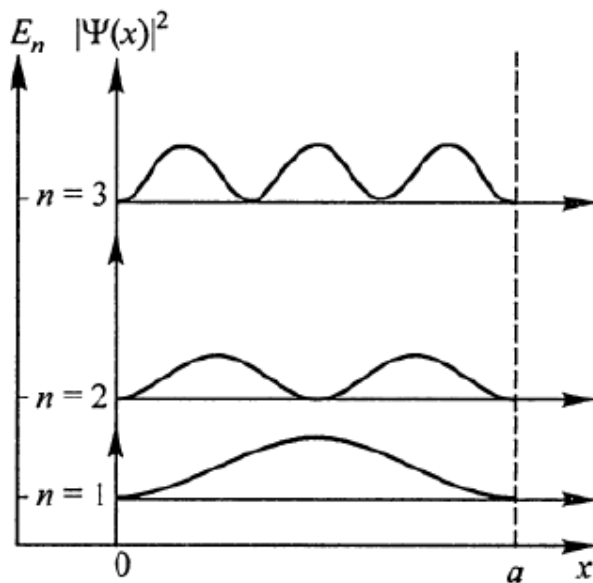
Пусть  $n = 1$ . Это состояние с наименьшей энергией

$$E_1 = \frac{\pi^2 \hbar^2}{2ma^2}, \quad (15.26)$$

т.е. основное состояние. Оно характеризуется волновой функцией

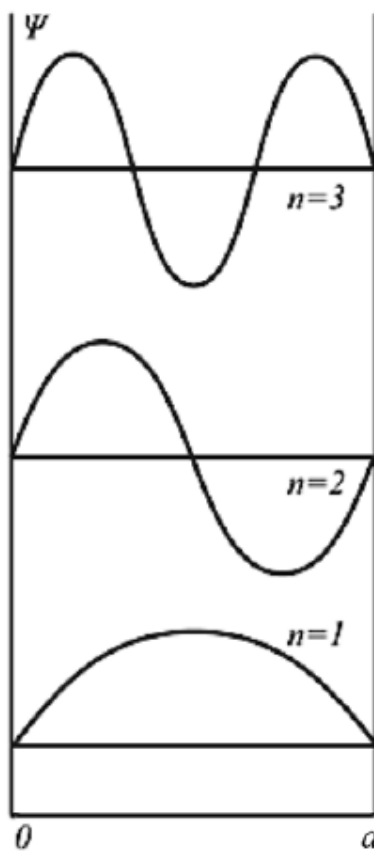
$$\psi_1(x) = \sqrt{\frac{2}{a}} \sin\left(\frac{\pi}{a}x\right). \quad (15.27)$$

Плотность вероятности обнаружения частицы в какой-либо точке внутри рассматриваемой потенциальной ямы выражается тригонометрической функцией координаты  $x$ :



$$|\psi_1(x)|^2 = \frac{2}{a} \sin^2\left(\frac{\pi}{a}x\right). \quad (15.28)$$

Видно, что в случае основного состояния плотность вероятности максимальна в центре ямы и спадает к её краям. В случае 1-го возбужденного состояния ( $n = 2$ ) распределение вероятностей еще более удивительно: вероятность обнаружения частицы в центре ямы равна нулю! В этом принципиальное отличие квантовомеханического распределения от классического случая, в котором все значения координаты равновероятны.



## Волновые функции.

Отметим, во-первых, что для всех найденных волновых функций выполняется осцилляционная теорема.

Во-вторых, отметим, что все ВФ-и в данном случае испытывают скачок производной на границах ямы, что, вообще говоря, противоречит общим требованиям на волновые функции.

Говоря о нефизичном поведении производных от ВФ-й, следует, однако, иметь в виду нефизическость самой модели бесконечно глубокой ямы. В реальности все потенциальные ямы имеют конечную глубину. Для прямоугольной ямы конечной глубины никаких скачков производной не наблюдается (см. далее).

## О симметрии ВФ.

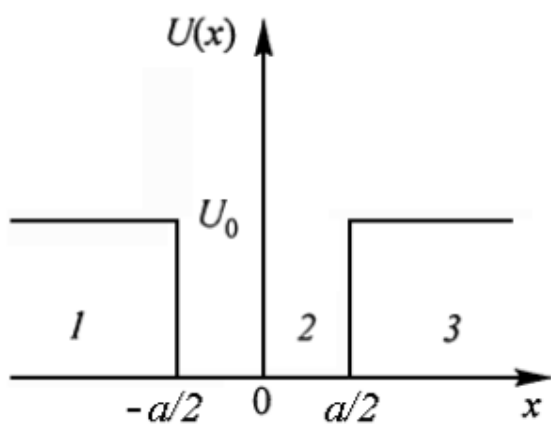
Следует отметить, что найденные волновые функции обладают определенной симметрией. В этом можно убедиться, если перенести начало координат в точку  $x = a/2$  (т.е. в центр ямы).

В новой системе координат  $x' = x - a/2$  потенциал станет симметричным относительно преобразования инверсии ( $x' \rightarrow -x'$ ). Тогда решения будут обладать определенной чётностью ( $\psi_1$  – чётная функция,  $\psi_2$  – нечётная и т.д.). Использование свойства чётности облегчает в ряде случаев нахождение решений для стационарных состояний в потенциальных ямах (см. далее).

## Одномерная прямоугольная потенциальная яма конечной глубины

Рассмотрим прямоугольную потенциальную яму следующего вида:

$$U(x) = \begin{cases} 0, & -a/2 \leq x \leq a/2 \\ U_0, & x < -a/2, x > a/2 \end{cases}. \quad (15.29)$$



В отличие от предыдущей задачи, для потенциальной ямы конечной глубины возможны две ситуации:

- 1)  $E < U_0$ . Движение финитное.
- 2)  $E > U_0$ . Движение инфинитное.

Рассмотрим 1-й случай. Удобно разбить весь бесконечный интервал изменения координаты на три области (см. рисунок). Гамильтониан в этих областях имеет вид

$$\hat{H} = \begin{cases} -\frac{\hbar^2}{2m} \frac{d^2}{dx^2} & \text{для области 2,} \\ -\frac{\hbar^2}{2m} \frac{d^2}{dx^2} + U_0 & \text{для областей 1 и 3.} \end{cases} \quad (15.30)$$

Получим два уравнения Шредингера для различных областей:

$$\psi'' + k^2\psi = 0 \quad \text{для области 2}, \quad (15.31)$$

$$\psi'' - \kappa^2\psi = 0 \quad \text{для областей 1 и 3},$$

$$\text{где } k = \sqrt{\frac{2mE}{\hbar^2}}, \quad \kappa = \sqrt{\frac{2m(U_0 - E)}{\hbar^2}}. \quad (15.32)$$

Этим областям соответствуют решения в виде, соответственно, синусов и косинусов (область 2) и растущей и затухающей экспонент (области 1 и 3).

Рассмотрим поочередно случаи чётных и нечётных состояний.

a) **Чётные** состояния:  $\psi(x) = \psi(-x)$ . Отбрасывая решения, растущие вглубь классически недоступной области и требуя симметричности (чётности) ВФ, приходим к решению вида

$$\text{область 1: } \psi_1(x) = A \exp(kx),$$

$$\text{область 2: } \psi_2(x) = B \cos(kx),$$

$$\text{область 3: } \psi_3(x) = A \exp(-\kappa x). \quad (15.33)$$

Сшиваем функции (15.33) и их первые производные в точке  $x=a/2 \rightarrow$

$$B \cos(ka/2) = A \exp(-\kappa a/2), \quad (15.34a)$$

$$kB \sin(ka/2) = \kappa A \exp(-\kappa a/2). \quad (15.34b)$$

Делим (15.34b) на (15.34a)  $\rightarrow$

$$k \operatorname{tg}(ka/2) = \kappa.$$

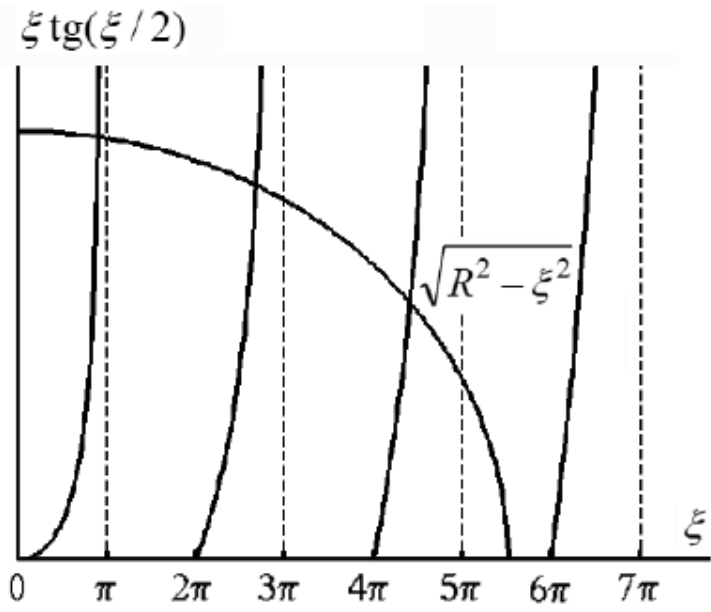
Умножим на  $a$  и воспользуемся выражениями (15.32) для параметров  $k$  и  $\kappa \rightarrow$

$$ka \operatorname{tg}(ka/2) = \sqrt{\frac{2mU_0a^2}{\hbar^2} - (ka)^2}. \quad (15.35)$$

Введем обозначения  $\xi = ka$ ,  $R = \sqrt{\frac{2mU_0a^2}{\hbar^2}}$   $\rightarrow$

$$\xi \operatorname{tg}(\xi/2) = \sqrt{R^2 - \xi^2}. \quad (15.36)$$

Будем анализировать решение уравнения (15.36) графически. Корни уравнения могут быть определены как абсциссы точек пересечения функции  $\xi \operatorname{tg}(\xi/2)$  и дуги окружности  $\sqrt{R^2 - \xi^2}$ . Получаемый дискретный набор точек пересечения этих кривых соответствует дискретному набору уровней энергии. Как видно из рисунка, сколь бы малым ни был радиус  $R$ , всегда есть хотя бы одна точка пересечения дуги окружности с кривой  $\xi \operatorname{tg}(\xi/2)$ . → Всегда существует хотя бы одно четное связанное состояние.



В случае глубокой ямы в пределе  $U_0 \rightarrow \infty$  получаем уравнение

$$k a \operatorname{tg}(ka/2) = \infty,$$

решение которого есть

$$\frac{ka}{2} = \frac{\pi}{2}, \frac{3\pi}{2}, \dots,$$

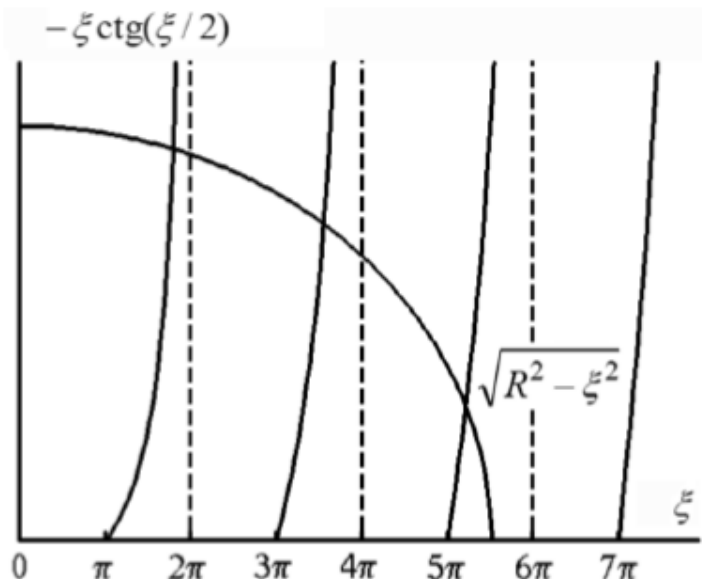
или

$$k_n = \frac{\pi}{a} n \quad (n = 1, 3, 5, \dots),$$

что соответствует четным состояниям в бесконечно глубокой яме (см. выше).

б) **Нечётные** состояния:  $\psi(-x) = -\psi(x)$ . Решение, не растущее вглубь классически недоступной области и обладающее свойством антисимметричности (нечётности), имеет вид

$$\begin{aligned} \text{область 1: } & \psi_1(x) = A \exp(kx), \\ \text{область 2: } & \psi_2(x) = B \sin(kx), \\ \text{область 3: } & \psi_3(x) = -A \exp(-kx). \end{aligned} \quad (15.37)$$



Из условия непрерывности волновой функции и её первой производной получаем уравнение для определения значений энергий нечётных состояний:

$$-ka \operatorname{ctg}(ka/2) = \sqrt{\frac{2mU_0a^2}{\hbar^2} - (ka)^2}, \quad (15.38)$$

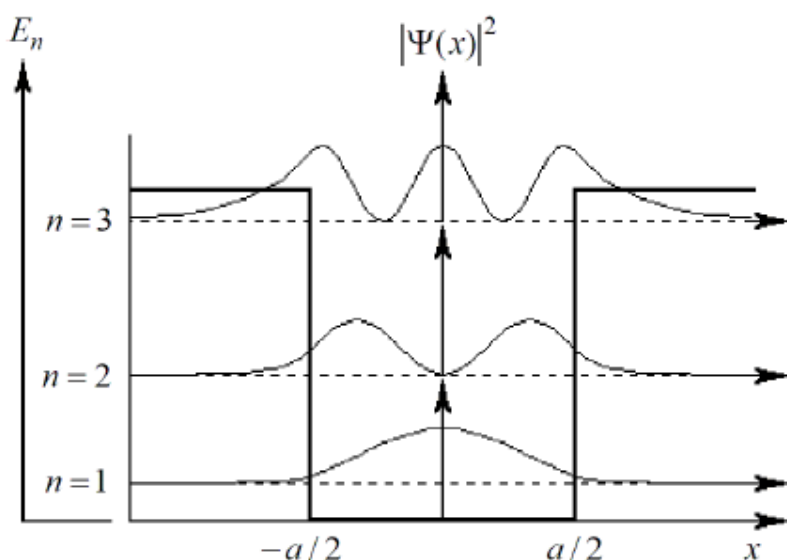
или

$$-\xi \operatorname{ctg}(\xi/2) = \sqrt{R^2 - \xi^2} \quad (15.39)$$

Из предыдущего рисунка видно, что при достаточно малом радиусе  $R$  не будет ни одного пересечения дуги окружности с кривой  $-\xi \operatorname{ctg}(\xi/2)$ . → Существуют условия, при которых не возникает ни одного нечетного связанного состояния. Условием возникновения первого такого состояния является неравенство  $R \geq \pi$ , или

$$\frac{2mU_0a^2}{\hbar^2} \geq \pi^2. \quad (15.40)$$

Из этого условия видно, что для того, чтобы в яме конечной глубины возникало хотя бы одно нечетное связанное состояние, ширина и глубина этой ямы должны быть достаточно большими.



На рисунке слева приведены распределения плотности вероятности нахождения частицы в яме конечной глубины для нескольких низших состояний. Заметим, что, хотя вид ВФ-й в данном случае похож на вид ВФ-й в случае бесконечно глубокой ямы, скачков производной ВФ, имевшихся для бесконечно глубокой ямы, здесь не наблюдается. ВФ-и не обращаются строго в ноль на границах ямы, а экспоненциально затухают вглубь классически недоступной области.